(19)中华人民共和国国家知识产权局

(12)实用新型专利

(10)授权公告号 CN 203276155 U
(45)授权公告日 2013.11.06

(21)申请号 201320341159.0

(22)申请日 2013.05.27

(73)专利权人 叶志勇
地址 315175 浙江省宁波市鄞州区学院路 899 号宁波大红鹰学院 11 信管 2

(72)发明人 叶志勇

(51)Int.Cl.
G06F 1/20(2006.01)

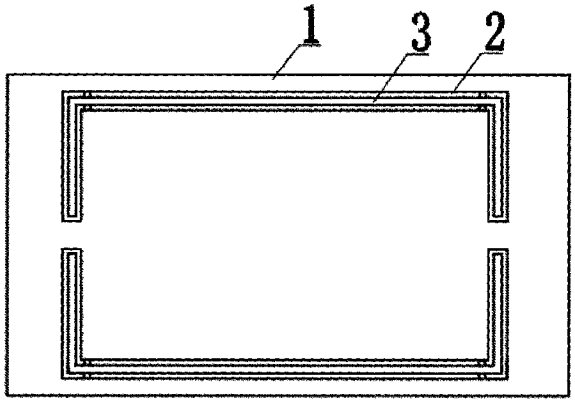
权利要求书1页 说明书2页 附图1页

(54)实用新型名称

便于散热的手提电脑

(57)摘要

本实用新型公开了一种便于散热的手提电脑，包括电脑本体，所述电脑本体的后表面上设有“U”形的凹槽，所述凹槽内转动安装有“U”形的支架。支架能够将电脑本体支起一定高度，使其与桌面之间的空间加大，方便空气流通，有助于提高电脑本体的散热，进而保证电脑本体的正常使用，结构简单，使用方便。



CN 203276155 U

1. 便于散热的手提电脑，包括电脑本体，其特征在于：所述电脑本体的后表面上设有“U”形的凹槽，所述凹槽内转动安装有“U”形的支架。

2. 如权利要求 1 所述的便于散热的手提电脑，其特征在于：所述凹槽设置为两个，且在所述电脑本体的后表面上相对设置。

3. 如权利要求 2 所述的便于散热的手提电脑，其特征在于：所述凹槽沿所述电脑本体的长轴边设置。

4. 如权利要求 1、2 或 3 所述的便于散热的手提电脑，其特征在于：所述支架的旋转角度为 0 ～ 120° 。

便于散热的手提电脑

技术领域

[0001] 本实用新型涉及一种学习、办公用品领域，尤其涉及一种便于散热的手提电脑。

背景技术

[0002] 现有技术中的手提电脑，为了方便其散热，在手提电脑后表面的四个角部分别设有凸起，凸起使电脑能够抬起一定的高度，使其与桌面之间留有缝隙，以方便通风散热使用，但是由于凸起高度较小，缝隙的空气流通速度有限，因此散热效果不是很好，不能以最快速度散热，严重影响了电脑的适于寿命，而且凸起使固定在电脑上的，取放很不方便。

实用新型内容

[0003] 本实用新型所要解决的技术问题是提供一种结构简单，散热速度快的便于散热的手提电脑。

[0004] 为解决上述问题，本实用新型采用如下技术方案：便于散热的手提电脑，包括电脑本体，所述电脑本体的后表面上设有“U”形的凹槽，所述凹槽内转动安装有“U”形的支架。

[0005] 作为一种改进，所述凹槽设置为两个，且在所述电脑本体的后表面上相对设置。

[0006] 作为一种改进，所述凹槽沿所述电脑本体的长轴边设置。

[0007] 作为一种改进，所述支架的旋转角度为 0 ～ 120° 。

[0008] 由于采用了上述方案，便于散热的手提电脑，包括电脑本体，所述电脑本体的后表面上设有“U”形的凹槽，所述凹槽内转动安装有“U”形的支架；本实用新型的有益效果是：支架能够将电脑本体支起一定高度，使其与桌面之间的空间加大，方便空气流通，有助于提高电脑本体的散热，进而保证电脑本体的正常使用，结构简单，使用方便。

附图说明

[0009] 为了易于说明，本实用新型由下述的具体实施例及附图作以详细描述。

[0010] 图 1 为本实用新型实施例的结构示意图；

[0011] 图 2 为本实用新型实施例的俯视图；

[0012] 其中：1- 电脑本体；2- 凹槽；3- 支架。

具体实施方式

[0013] 如图 1 和图 2 所示，便于散热的手提电脑，包括电脑本体 1，所述电脑本体 1 的后表面上设有“U”形的凹槽 2，所述凹槽 2 内转动安装有“U”形的支架 3。

[0014] 本实施例中所述凹槽 2 设置为两个，在所述电脑本体 1 的后表面上相对设置，且所述凹槽 2 沿所述电脑本体 1 的长轴边设置，使支架 3 的长度较长，提高使用时电脑本体 1 的稳定性，防止其晃动。

[0015] 所述支架 3 的旋转角度为 0 ～ 120° ，本实施例可以将支架 3 的最大转动角度设置在 120° ，使其在支撑电脑本体 1 使与电脑本体 1 之间角度较大，防止支架 3 手里过大而向

凹槽 2 内转动，使用更加稳定。

[0016] 本实用新型的支架能够将电脑本体支起一定高度，使其与桌面之间的空间加大，方便空气流通，有助于提高电脑本体的散热，进而保证电脑本体的正常使用，结构简单，使用方便。

[0017] 对所公开的实施例的上述说明，使本领域专业技术人员能够实现或使用本实用新型。对这些实施例的多种修改对本领域的专业技术人员来说将是显而易见的，本文中所定义的一般原理可以在不脱离本实用新型的精神或范围内的情况下，在其他实施例中实现。因此，本实用新型将不会限制于本文所示的这些实施例，而是要符合于本文所公开的原理和新颖特点相一致的最宽的范围。

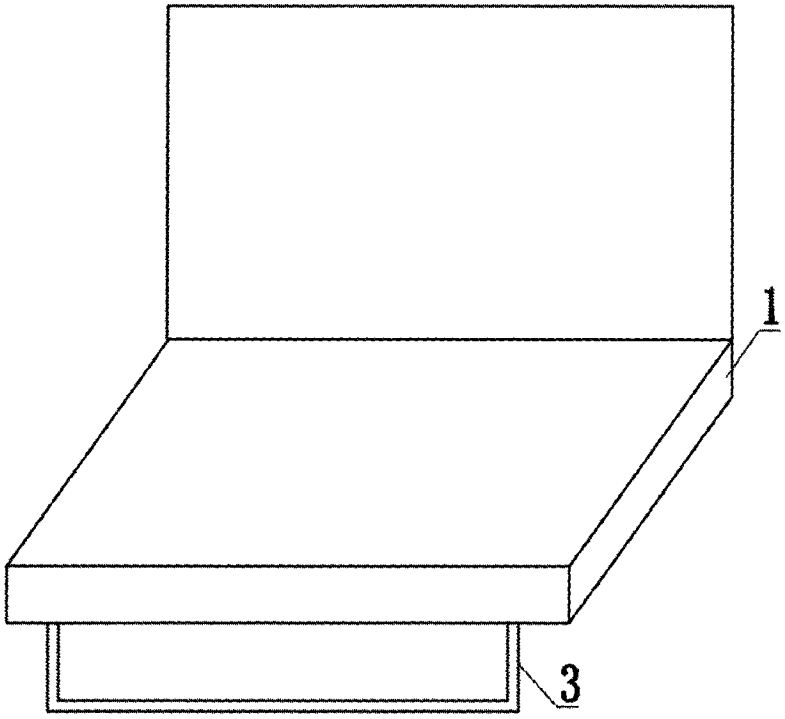


图 1

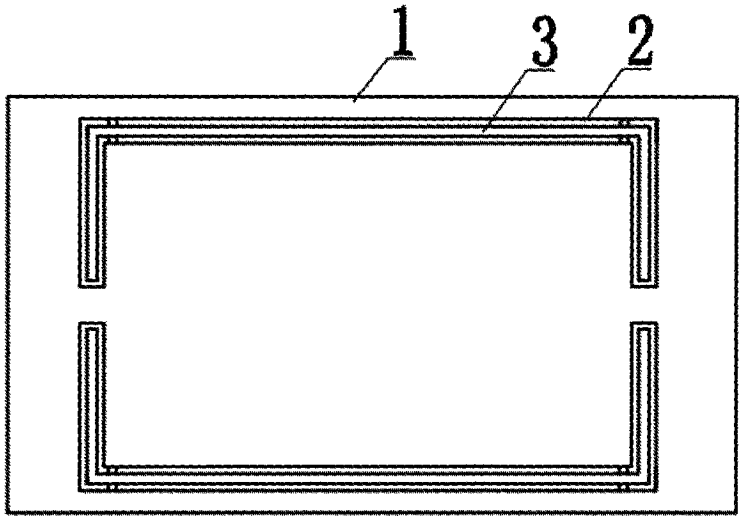


图 2